

ИЗВЕСТИЯ ВЫСШИХ УЧЕБНЫХ ЗАВЕДЕНИЙ
ГЕОЛОГИЯ И РАЗВЕДКА
1988, № 7

УДК 552.11(470.322)

К. А. САВКО, В. Л. БОЧАРОВ

ПЕТРОХИМИЯ ГАББРО-ДОЛЕРИТОВ
ВОСТОЧНОЙ ЧАСТИ ВОРОНЕЖСКОГО
КРИСТАЛЛИЧЕСКОГО МАССИВА

В 1983—1985 гг. на востоке Воронежской области при глубинном геологическом картировании выявлены пять крупных интрузивных габбро-долеритовых тел, общая площадь выхода которых на докембрийский эрозионный срез достигает 33 км² (рис. 1). Самые крупные габбро-долеритовые тела — Новогольский (25 км²) и Братковский (8 км²) интрузивы. Сведения об их составе и морфологии основаны на данных грави- и магниторазведки, а также бурения семи скважин, вскрывших габбро-долериты под чехлом осадочных отложений мощностью 300—350 м на глубине от 7 до 82 м (рис. 2).

Интрузивный трапповый магматизм известен на северо-западе Воронежского кристаллического массива (ВКМ) на территории КМА [6]. С дифференцированными телами габбро-долеритов смородинского и никитовского комплексов в Курской и Орловской областях связаны небольшие проявления медно-никелевых сульфидных и титаномагнетитовых (с ванадием) руд [6, 11]. Обнаружение интрузивных габбро-долеритовых массивов, геолого-геофизический прогноз которых дан Е. М. Крестиной [7], на востоке — веское доказательство общности геологической истории Курского и Воронежского блоков мегаструктуры ВКМ на платформенном этапе развития, существенно влияющее на общую металлогеническую оценку в регионе магматических ультрамагмит-мафитовых образований.

Все интрузивные габбро-долеритовые тела в Калач-Эртильской структурно-тектонической зоне в 70 км, северо-восточнее Еланьского никеленосного ллутона авторы предлагают объединить в самостоятельный новогольский магматический комплекс (по наиболее крупному интрузиву). Тела контролируются серией долгоживущих разрывных нарушений северо-западного и северо-восточного направлений, входящих, по-видимому, в единую систему разломной тектоники Лосевско-Мамоновской — Новохоперско-Шумилинской зон эндогенной активности в конце раннего протерозоя. Интрузии представляют дайкообразные крутопадающие тела, образующие в плане полукольцо радиусом 15—17 км (рис. 1). Вмещающими являются раннепротерозойские образования воронцовской серии (PR₁² vc), представленные метапесчаниками и сланцами, преимущественно биотит-кварцевыми. Юго-западнее ареала распространения габбро-долеритовых тел метаморфические породы воронцовской серии прорваны многочисленными интрузиями ультрамагмитов и мафитов мамонского и субщелочных гранитов бобровского комплекса.

В магнитном поле для габбро-долеритовых интрузий типичны отрицательные значения намагниченности. Однако на фоне песчаниково-сланцевых пород, характеризующихся большими отрицательными значениями геомагнитного поля, габбро-долериты фиксируются положительными аномалиями вытянутой и овальной форм (рис. 1). Если габбро-долеритовые массивы в магнитном поле отчетливо не выявля-

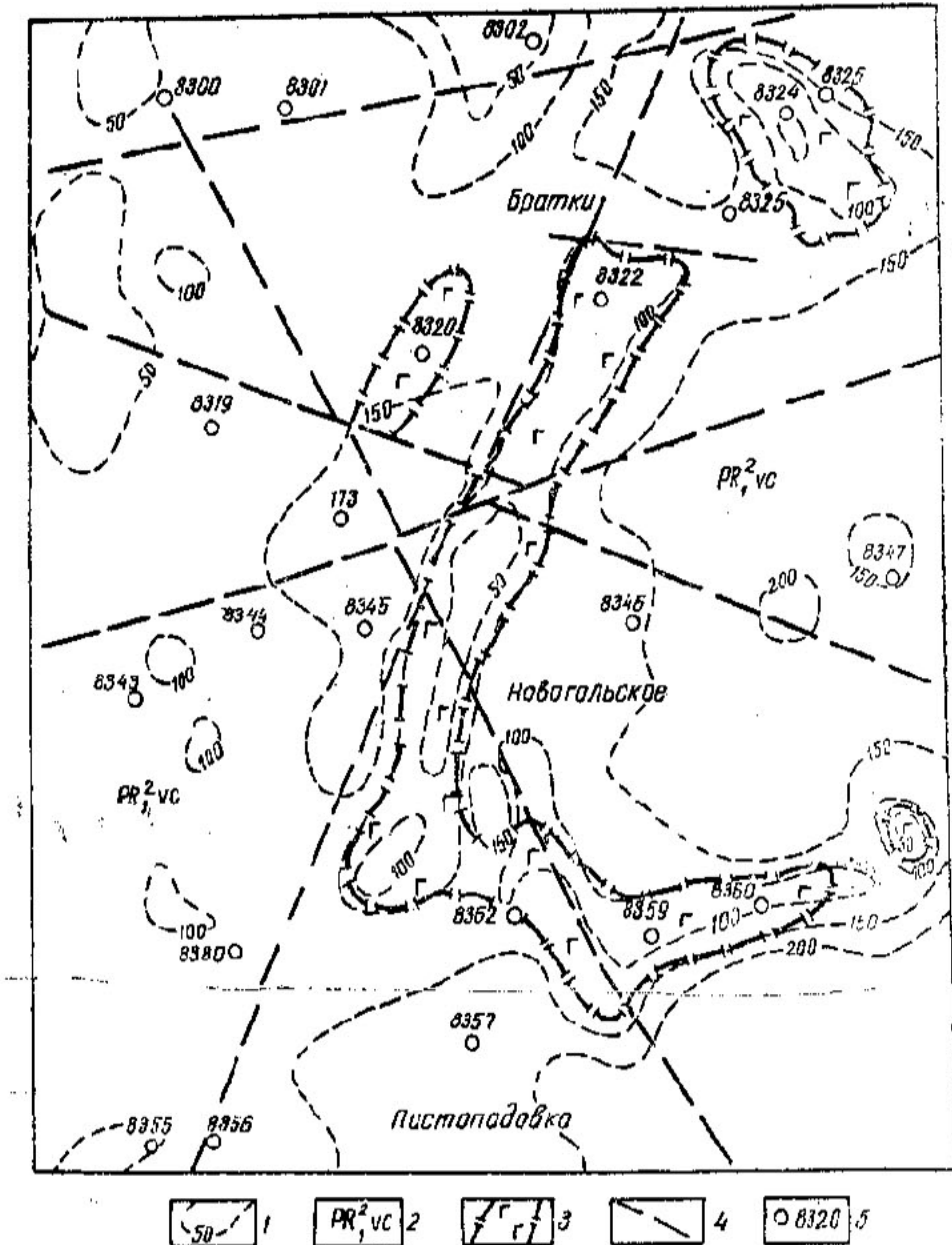


Рис. 1. Схематическая геологическая карта распространения габбро-долеритов
 1 — изолинии геомагнитного поля; 2 — песчаниково-сланцевые образования воронцовской серии; 3 — интрузивные тела габбро-долеритов; 4 — разрывные нарушения; 5 — скважины

ются, они надежно интерпретируются по данным гравиразведки. Все интрузии габбро-долеритов выделяются в гравитационном поле положительными аномалиями силы тяжести.

На гамма-каротажных диаграммах габбро-долериты хорошо распознаются по чрезвычайно низким значениям радиоактивности (3—5 мкР/ч). По этому показателю они отличаются от габбро-норитов маимонского комплекса, имеющих радиоактивность 8—12 мкР/ч. Радиоактивность вмещающих песчаниково-сланцевых образований воронцовской серии также повышена, по сравнению с габбро-долеритами (5—

10 мкР/ч), и сопоставима с радиоактивностью никеленосных ультрамагмитов и мафитов.

Габбро-долериты — наиболее распространенная породная группа в интрузивных массивах новогольского комплекса. Это темно-серые, реже зеленовато-серые (в зонах трещиноватости) среднезернистые по-

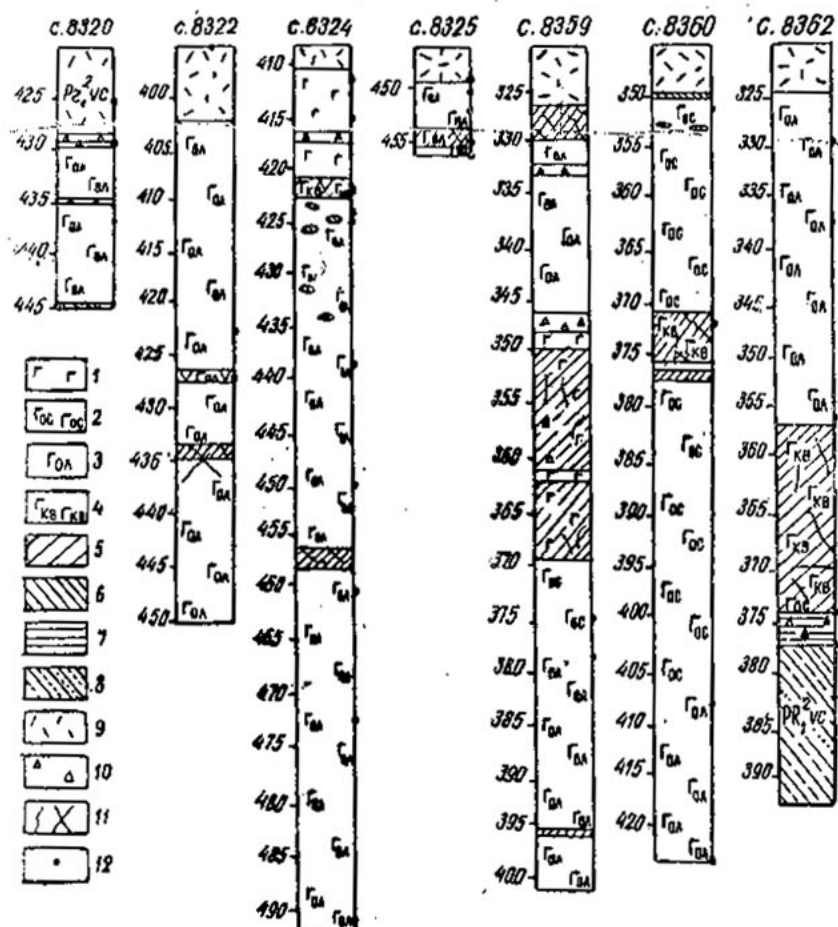


Рис. 2. Геологические разрезы по скважинам

Масштаб 1 : 500; 1—5 — габбро-долериты: 1 — безоливиновые, 2 — оливинсодержащие, 3 — оливиновые, 4 — кварцодержащие, 5 — амфиболизированные; 6 — габбро-долерит-пегматиты; 7 — микродолериты контактовых зон; 8 — песчаниково-сланцевые образования воронцовской серии; 9 — кора выветривания габбро-долеритов; 10—11 — зоны; 10 — дробления, 11 — трещиноватости; 12 — точки отбора шлифов

роды с офитовой и пойкилоофитовой структурами. Минеральный состав меняется в зависимости от положения пород в разрезах. Внутреннее строение интрузивных тел определяется различной дифференциацией, выраженной в приуроченности кварцодержащих, безоливиновых, оливинсодержащих габбро-долеритов и габбро-долерит-пегматитов к верхним горизонтам или приконтактовым зонам, а оливиновых габбро-долеритов, переходящих в троктолитовые разности, — к средним и нижним горизонтам (рис. 2). Различный уровень эрозионного среза интрузий может нарушать эту закономерность.

Безоливиновые габбро-долериты сложены беспорядочно ориентированными лейстами и таблитчатыми (0,5—1 мм) кристаллами плагиоклаза (андезин, 50—55 %) и также клинопироксена (авгит, пижонит, клиноэнstatит, 25—30 %), образующего структуры распада с ортоци-

роксеном (энстатит, гиперстен, 10%). Присутствуют также биотит, актинолит, апатит, ильменит.

В оливинсодержащих разновидностях, наряду с плагиоклазом (андезин, 40—50), присутствуют пижонит (30—35), гиперстен (10), оливин (гиалосидерит, до 5%), а также биотит, актинолит, ильменит, апатит, циркон.

Оливиновые разновидности, наиболее распространенные, характеризуются высоким содержанием оливина (гиалосидерит, 20—25%), который преобладает иногда над клинопироксеном (пижонит, авгит, 15—20%); плагиоклаз представлен лабрадором (50—60%, рис. 3).

Рис. 3. Оливиновый габбро-долерит Скважина 8362, глубина 337 м; никели скрещены



Кварцсодержащие габбро-долериты, приуроченные в основном к зонам трещиноватости, характеризуются постоянным присутствием кварца (3—5%) и могут быть как оливиновыми, так и безоливиновыми. Зеленовато-серая окраска обусловлена автометасоматическими преобразованиями породообразующих минералов — плагиоклаза (серicitизация), пироксенов (амфиболизация и хлоритизация), оливина (серпентинизация с выделениями талька и вторичного магнетита).

Габбро-долерит-пегматиты локализованы в виде маломощных (1—1,5 м) горизонтов и шлировых обособлений в аникальных частях интрузий (скважина 8360, рис. 2); пегматоидная структура обусловлена наличием крупных (1—2 см) кристаллов плагиоклаза (андезин, 60%), измененных пироксенов: моноклинного (пижонит, авгит, 15%) и ромбического (гиперстен, 5%), оливина (гиалосидерит, 3%), роговой обманки с повышенной железистостью (10%). Постоянно присутствуют магнетит, апатит, хлорит, актинолит.

Контактовые микродолериты представлены темно-серой афантитовой породой с интерсертальной структурой. Главный компонент — плагиоклаз (андезин, до 70%)¹ образует беспорядочно ориентированные листы, пространство между которыми выполнено девитрифицированным стеклом.

Судя по петрохимическим исследованиям, габбро-долериты восточной части ВКМ (табл. 1) принадлежат к нормально-щелочному ряду основных магматических пород [4]. Для них характерна недонасыщенность кремнеземом ($-12 < Q \leq -6$), сочетающаяся с высокой основностью ($a > 25$) и пониженной щелочностью ($a:c = 0,7-1,3$) устойчивой натриевой специализации ($n \geq 80$). Полевошпатовая известь, как правило, преобладает над щелочными металлами; исключение составляют породы приконтактовой с вмещающими метапесчаниками и сланцами зоны, обогащенные щелочами, в основном калием (табл. 1). Магнезиально-железистые компоненты в мафической части пород за-

¹ Оптические определения породообразующих минералов выполнены В. В. Юдиной (ПГО «Центргеология») и С. М. Фроловым (ВГУ).

Химический состав

Номера	Пробы	SiO_2	TiO_2	Al_2O_3	Fe_2O_3	FeO	MnO
1	8359/330	45,54	0,8	15,92	2,56	11,45	0,16
2	8359/336,9	46,52	0,9	17,73	2,71	9,66	0,16
3	8359/344,2	47,44	0,9	17,61	2,13	9,52	0,15
4	8359/350,7	46,52	0,9	17,62	3,94	8,26	0,14
5	8360/418	44,48	1,05	14,89	2,56	12,96	0,04
6	8324/438	49,05	1,1	16,71	2,52	9,16	0,17
7	8324/450	48,84	1,3	17,22	2,46	8,19	0,15
8	8324/460	49,2	1,1	18,18	2,05	8,73	0,12
9	8324/472	48,02	1,05	17,54	2,46	9,09	0,14
10.	8325/455	47,9	1,2	16,13	2,52	8,48	0,14
11.	8359/356,7	46,02	0,91	17,11	4,04	8,91	0,14
12	8359/364	46,9	0,9	18,24	3,14	8,98	0,16
	8359/388,9	46,32	1,15	17,62	2,8	9,9	0,24
	8359/389,1	46,56	1,05	17,11	1,62	10,35	0,17
13	8359/396,8	46,84	1,05	17,11	2,19	10,20	0,17
14	8360/386	44,64	1,22	17,01	4,39	9,54	0,13
15	8324/424,3	49,80	1,20	16,23	1,61	8,95	0,16
16	8322/448,6	47,06	1,48	15,74	6,39	8,10	0,19
17	8324/410,8	51,58	1,15	14,50	1,58	10,35	0,16
18	8324/415	50,50	1,30	14,27	1,63	10,13	0,2
19	8362/360,4	49,14	1,40	16,33	2,17	10,44	0,14
20	8324/422	49,92	1,05	14,98	2,84	8,87	0,14
21	8324/424,7	49,54	1,01	14,08	2,49	6,79	0,14
22	8362/372,4	45,10	1,48	15,17	5,57	9,90	0,13
23	8320/429,2	45,52	1,81	16,08	5,02	6,94	0,15
24	8320/430,1	47,05	1,90	15,32	6,21	6,84	0,2

П р и м е ч а н и я: 1—22 — габбро-долериты; 1—10 — оливиновые, 11—18 — долерит-пегматит; 24—26 — контактовые габбро-долериты. Над чертой — номера не определены. Химические анализы выполнены в лаборатории Прионской ГРЭ ПГО

то пребывают над кальциевою составляющей. Соотношения магния и железа неизменны: в оливиновых габбро-долеритах превалирует маргий ($m':f' > 1$), безоливиновым породам присуща более высокая железистость ($m':f' < 1$). Стабильно высокий уровень накопления титана ($t \geq 1,8$) является, наряду с существенно натриевым профилем щелочности и высокой общей железистостью пород, важным диагностическим свойством габбро-долеритов, позволяющим отличать их от устриценно сближенных габброидов мамонского комплекса. Для последних, как известно [10], обычны следующие петрохимические признаки: умеренная насыщенность кремнеземом ($-6 \leq Q < 0$), преимущественное накопление щелочей, по сравнению с полевошпатовой известью ($a:c > 1$), при заметно возрастающей роли калия ($n < 65$), невысокие титанистость ($t \leq 1$) и железистость ($m':f' > 1$)².

Для определения сериальной и формационной принадлежности габбро-долеритов они сопоставлены со статистическими группами габбро-долеритов смородинского комплекса КМА, Сибирской платформы, типовыми составами трappов древних платформ и оксанических вулканических базальтов (табл. 2). Интрузивные трапы на востоке ВКМ обладают необходимыми и достаточными петрохимическими признаками для отнесения к габбро-долеритовой (трappовой) формации консолидированных сегментов раннедокембрийской литосферы: устойчивые высокие содержания титана и железа при относительно низкой окисленности последнего элемента, умеренные магнезиальность и кальциевость пород, крайне незначительная роль калия в сумме щелочных металлов,

² a, b, c, n, t, Q, m', f' — числовые характеристики по А. Н. Заварецкому [4].

Таблица 1

габбро-долеритов, восток ВКМ, %

MgO	CaO	Na ₂ O	K ₂ O	P ₂ O ₅	SO ₃	П.и.п.	Сумма
11,01	8,96	2,1	0,4	0,09	0,08	0,56	99,63
9,09	8,96	2,3	0,6	0,09	0,23	0,65	99,59
8,48	9,52	2,4	0,8	0,06	0,1	0,84	99,95
8,69	10,08	2,3	0,7	0,02	0,51	0,94	99,62
10,63	9,6	2,1	0,55	0,12	0,04	Не обн.	99,12
6,97	9,66	2,6	0,6	Не опр.	0,13	1,3	99,97
6,87	9,66	2,35	0,6	То же	0,11	1,36	99,11
6,97	9,66	2,5	0,6	То же	0,23	1,04	100,38
8,18	8,26	2,5	0,4	То же	0,13	1,95	99,72
7,37	7,56	2,45	0,8	Не опр.	0,25	4,41	99,21
8,69	9,24	2,3	0,85	0,03	0,12	1,77	100,37
8,08	10,08	2,1	0,5	0,03	0,02	0,97	99,5
8,25	9,34	2,5	0,6	0,4	0,1	Не обн.	100,22
8,08	9,52	2,5	0,5	0,13	0,1	1,72	99,4
7,88	9,52	2,4	0,44	0,14	0,18	1,13	99,25
8,63	9,34	2,6	0,7	0,29	0,29	0,54	99,22
7,27	9,66	2,4	0,6	Не опр.	0,11	1,85	99,04
6,71	10,67	2,6	0,6	0,3	0,08	Не обн.	99,92
6,77	9,66	3,05	0,6	Не опр.	0,12	1,03	100,55
6,26	9,66	2,6	0,55	То же	0,09	1,85	99,04
6,71	10,67	2,6	0,6	0,18	0,06	Не обн.	100,44
7,58	8,68	2,3	0,8	Не опр.	0,11	2,05	99,52
7,37	12,04	2,2	0,7	То же	0,12	2,9	99,35
7,27	9,34	2,9	0,95	0,23	0,12	1,04	99,20
7,10	9,34	2,7	0,6	0,32	0,3	3,63	99,01
5,93	10,14	2,9	0,6	0,3	0,53	2,24	99,16

оливинсодержащие, 19—20 — безоливиновые, 21—22 — кварцодержащие; 23 — габбро-скважин, под чертой — глубины отбора проб. Не обн. — не обнаружено. Не опр. — «Центргеология».

постоянное присутствие фосфора, парагенетически связанные с элементами окислорудной группы. Вместе с тем отчетливо проявляются особенности состава габбро-долеритов восточной части ВКМ: большая недонасыщенность кремнеземом и обогащенность алюминием относительно региональных гомологов — пород смородинского комплекса КМА. Наиболее близки исследуемым породам габбро-долериты Норильского района [3], но при одинаковой кремнекислотности последние содержат меньше алюминия и больше серы, по сравнению с габбро-долеритами на востоке ВКМ.

Специфика химизма габбро-долеритов, определяемая, по-видимому, региональными флуктуациями состава магмогенерирующего субстрата, отражена на диаграмме A—S [1]. Точки составов пород на востоке ВКМ занимают промежуточное положение между типовыми составами оливиновых толентовых базальтов и никрит-долеритов (рис. 4). Габбро-долериты смородинского комплекса КМА и Сибирской платформы, отличаясь от исследуемых пород высокими содержаниями S, локализованы в области, примыкающей к типовым составам оливиновых и безоливиновых толентов. Дефицит кремнезема компенсируется высокой глиноzemистостью, определяющей повышенные, по сравнению с никрит-долеритами, значения параметра A (рис. 4).

Диаграмма А. Миширо и Ф. Шидо [12] иллюстрирует специфику химизма габбро-долеритов восточной части ВКМ в координатах железистость—кремнекислотность (рис. 5). Располагаясь в области толентовой серии, породы характеризуются минимальной кремнекислот-

Таблица 2

Средний химический состав габбро-долеритов континентальных областей, %

Оксиды	1(26)		2(40)		3(12)		4(258)		5(110)	
	$X_{\text{ср}}$	S_x								
SiO_2	47,44	3,45	49,18	2,37	47,17	2,36	49,22	2,04	49,15	1,33
TiO_2	1,27	0,20	1,84	0,71	1,57	0,12	1,48	0,73	2,09	0,52
Al_2O_3	16,36	1,58	15,26	2,51	14,63	1,05	15,18	1,42	15,09	1,04
Fe_2O_3	3,1	2,06	3,20	1,92	3,80	1,21	3,18	1,72	3,35	1,36
FeO	9,25	1,91	11,21	1,85	9,55	3,39	9,32	1,8	7,56	1,28
MnO	0,15	0,01	0,13	0,05	0,20	0,02	0,20	0,09	0,17	0,02
MgO	7,79	1,48	6,10	1,36	7,95	2,12	6,22	1,33	7,75	1,23
CaO	9,59	0,68	9,38	1,39	10,1	1,11	10,47	1,17	10,61	0,70
Na_2O	2,48	0,60	2,65	0,58	2,21	0,12	2,22	0,59	2,23	0,40
K_2O	0,63	0,21	0,70	0,39	0,75	0,09	0,75	0,43	0,30	0,15
P_2O_5	0,16	0,02	0,31	0,17	0,25		0,15	0,15	0,23	0,06
SO_3	0,14	0,02	0,13		Не опр.		Не опр.		Не опр.	
П. п. п.	1,35		0,25		1,5		То же		То же	
Сумма	99,71		100,34		99,68		Не опр.		Не опр.	
FeO/MgO	1,55		2,31		1,68		2,01		1,41	
$\text{Fe}_2\text{O}_3/(\text{Fe}_2\text{O}_3+\text{FeO})$	0,25		0,22		0,28		0,25		0,31	

Примечания: 1—3 — габбро-долериты: 1 — восточной части ВКМ, 2 — смородинского комплекса КМА [10], 3 — Сибирской платформы [3, 9]; 4—5 — трапы: 4 — древних платформ [8], 5 — океанические [8]; $X_{\text{ср}}$ — среднее арифметическое, S_x — стандартное отклонение, в скобках — количество анализов; не опр. — не определяли.

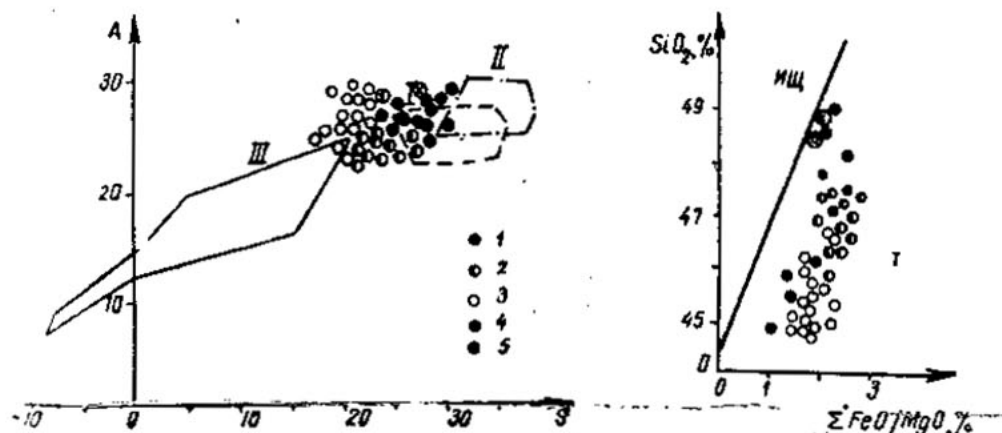


Рис. 4. Диаграмма $A-S$ для габбро-долеритов континентальных областей
1—III — поля: I — оливиновых толеитовых базальтов, II — толеитовых базальтов,
III — алカリбазальтов [5]. 1—5 — составы: 1—3 — габбро-долеритов: 1 — Норильский район, 2 — смородинский комплекс КМА, 3 — восточная часть ВКМ, 4 — океанических толеитов, 5 — траппов древних платформ

Рис. 5. Положение габбро-долеритов на диаграмме Миширо — Шидо
Магматические серии: толеитовая (T), известково-щелочная (ИЩ). Усл. обозн. см. на рис. 4

ностью. Максимально насыщены кремнием континентальные толеиты, а габбро-долериты смородинского комплекса КМА занимают промежуточное положение. Содержание кремния в породах Сибирской платформы сильно дифференцировано и значительно выше, по сравнению с его количеством в габбро-долеритах ВКМ и КМА. Разбросы железнисто-магнезиальных отношений значительно меньше.

Изменчивость химического состава габбро-долеритов при магматической дифференциации отражена на факторной диаграмме, построенной в координатах трех главных компонент (рис. 6). Структура факторных нагрузок приведена в компонентных формулах. Первая компонента определена антагонизмом титана и алюминия, вторая отражает локализацию титаномагнетитового оруденения при повышенной кислотности.

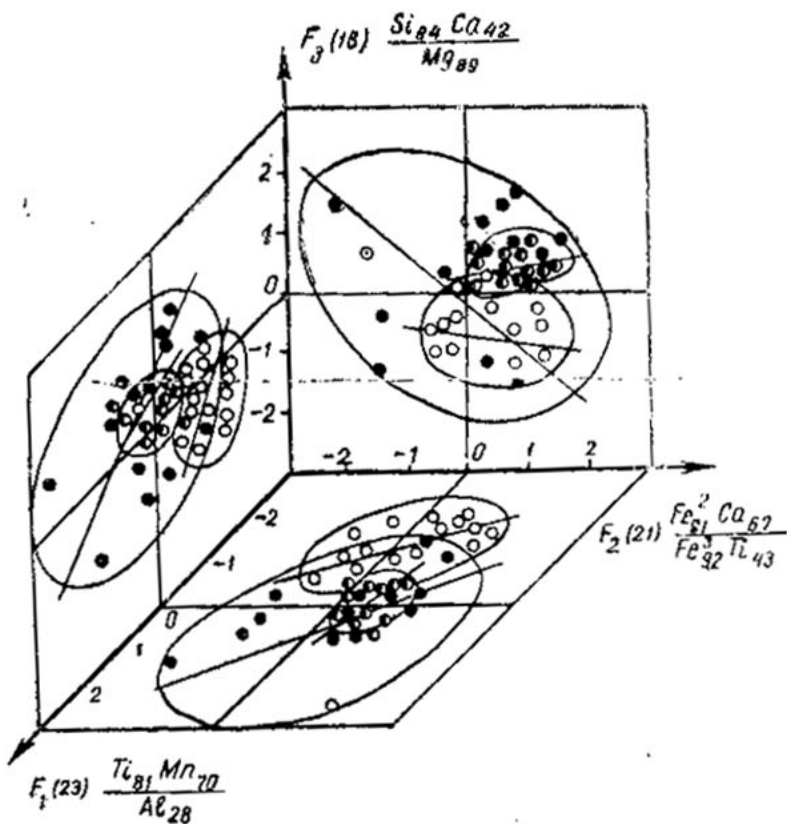


Рис. 6. Факторная диаграмма габбро-долеритов

Усл. обозн. см. на рис. 4

родной активности, третья обусловлена кислотно-основной дифференциацией расплава. Суммарная дисперсия по трем компонентам (52%) подтверждает высокую однородность петрохимического сообщества габбро-долеритов.

При компонентном разложении выделились полностью или частично перекрывающиеся эллипсы рассеивания составов габбро-долеритов на востоке ВКМ, смородинского комплекса КМА и на Сибирской платформе. На факторных плоскостях F_1F_2 и F_1F_3 петрохимические тренды каждой из выделившихся статистических совокупностей ориентированы одинаково. Можно считать, что первые две компоненты, содержащие наибольший процент общей петрохимической изменчивости системы, отражают общность формационной принадлежности сравниваемых пород, которая подчеркнута перекрытием составов в координатах главных компонент и однонаправленным изменением химизма при дифференциации. Третья компонента выявляет специфику габбро-долеритов, обусловленную региональными вариациями химизма. Смысл таких вариаций, раскрытый при анализе бинарных петрохимических диаграмм, заключается в разных масштабах камерной дифференциации кремния и магния для интрузивных траппов на Сибирской платформе и ВКМ.

Результаты статистического анализа содержаний и распределений рассеянных элементов в оливиновых габбро-долеритах и безоливиновых разновидностях этих пород представлены в табл. 3. Распределение

Таблица 3
Содержания и параметры распределения рассеянных элементов в габбро-долеритах восточной части ВКМ (г/т)

Элементы	1(15)				2(20)			
	$X_{ср}$	S_x	A_x	E_x	$X_{ср}$	S_x	A_x	E_x
Cr	210	105	0,68	-2,11	128	94	0,92	0,96
Ti	6350	1210	-1,32	-1,64	7220	1420	-0,99	-1,21
V	155	96	0,94	-1,24	290	120	0,68	0,12
Mn	995	296	1,12	-0,68	1180	264	0,98	-0,88
Ni	528	167	2,14	-1,12	292	87	1,48	0,64
Co	110	67	1,12	0,84	69	65	1,87	1,41
Cu	125	84	0,97	-0,41	165	76	1,12	-1,41
Zn	100	66	1,41	-0,82	120	84	-1,16	-0,94
Pb	12	10	2,64	-3,12	22	18	-1,88	-3,1
Sn	3	2,8	2,84	1,14	7	6	3,12	4,12
Sr	152	88	0,53	-0,92	280	110	-1,16	-0,98
Sc	32	18	1,88	-2,14	58	32	2,03	2,16
Ga	22	12	0,96	-2,03	41	21	1,28	-1,91
Zr	95	24	0,64	0,88	128	62	1,12	-1,16
Y	22	11	1,12	-1,21	39	14	0,81	0,98
Y ₂ O ₃	2,1	2	-1,64	-3,11	2,6	3	3,98	1,69

Примечания. 1—2 — габбро-долериты; 1 — оливиновые, 2 — безоливиновые; A_x — асимметрия, E_x — эксцесс. Приближенно-количественные спектральные анализы выполнены Г. М. Силановым (Придонская ГРЭ ПГО «Центргеология»). Остальные усloвия см. в табл. 2.

большинства изученных элементов надежно аппроксимируется нормальным законом. Исключение составляют олово, свинец и иттербий, концентрации которых незначительны, а разброс отдельных значений вокруг среднего максималь для исследуемых геохимических выборок.

Оливиновые габбро-долериты на востоке ВКМ обогащены, по сравнению с безоливиновыми разновидностями, хромом, никелем, кобальтом, а ванадия, свинца, олова, стронция, скандия, галлия, циркония и иттрия содержат в 1,5—2,2 раза меньше. В отношении титана, марганца, меди, цинка различия не столь существенны, однако более высокие концентрации этих элементов приурочены к безоливиновым породам. Кроме отмеченных элементов, на востоке ВКМ установлены молибден (0,2—0,3), серебро (0,01—0,1), бериллий (0—2), германий (0—2) и ниобий (0—8 г/т). Содержания рассеянных элементов близки к кларкам [2]. Из элементов группы железа наиболее отклоняются от кларковых значений титан, марганец (кларк концентрации меньше 1), никель и кобальт (кларк концентрации больше 1).

Из сравнения содержаний рассеянных элементов на востоке ВКМ и в смородинском комплексе КМА выявлено некоторое обогащение (в 2—3 раза) первых никелем и кобальтом при близких концентрациях меди, ванадия и более низких — титана [11]. По концентрации никеля оливиновые габбро-долериты на востоке сопоставимы с магнезиальными траппами Сибирской платформы, где содержания никеля 865—425 г/т (троктолитовые габбро-долериты моронговского типа) [9].

Таким образом, габбро-долериты восточной части ВКМ, принадлежащие которых к формации траппов несомненна, являются регио-

нальными и, по-видимому, возрастными гомологами пород смородинского комплекса КМА. Отличительная особенность первых — меньшая кремнекислотность и повышенная глиноземистость. Специфика пород новогольского габбро-долеритового комплекса обусловлена составом мантийного источника и частичной контаминацией высокожелезистого обогащенного никелем и недосыщенного кремнекислотой расплава коровным материалом высокой глиноземистости.

ЛИТЕРАТУРА

1. Барсуков В. Л., Дмитриев Л. В. О верхней мантии Земли как возможном источнике рудного вещества // Геохимия. 1972. № 12.
2. Виноградов А. П. Среднее содержание химических элементов в изверженных горных породах земной коры // Геохимия. 1962. № 7.
3. Годлевский М. Н. Траппы и рудоносные интрузии Норильского района. М.: Госгеолтехиздат, 1959.
4. Заварический А. Н. Перерасчет химических анализов изверженных горных пород и определение их химических типов. М.: Госгеолтехиздат, 1960.
5. Классификация и номенклатура магматических горных пород / О. А. Богатиков и др. М.: Недра, 1981.
6. Крестин Е. М., Быкова Т. А. Основные и ультраосновные интрузионные комплексы северо-западной части Курского-Воронежского кристаллического массива // Изв. вузов. Геол. и разн. 1971. № 6.
7. Крестин Е. М., Бердников М. Д. Связь к эволюции тектоники, масштабизма, метаморфизма и рудообразования в докембрии Курского-Воронежского кристаллического массива // Геология, петрология и корреляция кристаллических комплексов европейской части СССР. Л.: Наука, 1982.
8. Кутолин В. А. Проблемы петрохимии и петрологии базальтов. Новосибирск: Наука, 1972.
9. Магнезиальные базиты запада Сибирской платформы и вопросы гипактивности / В. В. Золотухин и др. Наука: Новосибирск, 1984.
10. Чернышов Н. М., Бочаров В. Л. Химические составы ультраосновных и основных пород докембрия Воронежского кристаллического массива. Воронеж: Изд-во Воронеж. ун-та, 1972.
11. Чернышов Н. М., Чесноков В. С. Траппы КМА. Воронеж: Изд-во Воронеж. ун-та, 1983.
12. Miyashiro A., Shido F. Tholeiitic and calc-alkalic series in relation to the behaviours of Ti, Cr, Ni // Amer. J. Sci. 1975. N 1.

ПГО «Центргеология»
Воронежский государственный
университет